骨髓血涂片镜检诊断人粒细胞无形体病1例报告

赵浩宏, 谷培云, 方媚, 王超, 栗绍刚, 齐文杰

引用本文:

赵浩宏,谷培云,方媚,王超,栗绍刚,齐文杰. 骨髓血涂片镜检诊断人粒细胞无形体病1例报告[J]. 中国临床医学, 2022, 29(2): 293–296.

在线阅读 View online: https://doi.org/10.12025/j.issn.1008-6358.2022.20211658

您可能感兴趣的其他文章

Articles you may be interested in

地西他滨治疗孤立性髓系肉瘤1例报告

Decitabine in the treatment of solitary myeloid sarcoma: a case report

中国临床医学. 2018, 25(5): 846-848 https://doi.org/10.12025/j.issn.1008-6358.2018.20180534

以发热伴腰痛为主诉的慢性肾脏病合并布氏菌感染1例报告

Fever and backache as chief complaint of chronic kidney disease complicated with Brucella infection :a case report

中国临床医学. 2019, 26(6): 959-962 https://doi.org/10.12025/j.issn.1008-6358.2019.20191482

纵隔上皮样肉瘤样血管内皮细胞瘤1例报告

Mediastinum epithelioid sarcoma-like haemangioendothelioma: a case report

中国临床医学. 2018, 25(5): 852-854 https://doi.org/10.12025/j.issn.1008-6358.2018.20171181

甲磺酸伊马替尼致间质性肺炎1例报告

Interstitial pneumonia induced by imatinib mesylate: case report

中国临床医学. 2018, 25(1): 154-156 https://doi.org/10.12025/j.issn.1008-6358.2018.20170756

豚鼠耳炎诺卡菌多部位感染致死1例报告

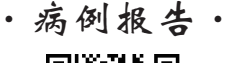
Multiple sites infection of nocardia otitidiscaviarum: a death case report

中国临床医学. 2020, 27(3): 531-533 https://doi.org/10.12025/j.issn.1008-6358.2020.20191865

DOI: 10.12025/j.issn.1008-6358.2022.20211658

骨髓血涂片镜检诊断人粒细胞无形体病 1 例报告

赵浩宏,谷培云,方 媚,王 超*,栗绍刚,齐文杰 首都医科大学附属北京友谊医院感染科,北京 100035





引用本文 赵浩宏, 谷培云, 方 媚, 等. 骨髓血涂片镜检诊断人粒细胞无形体病 1 例报告 [J]. 中国临床医学, 2022, 29(2): 293-296. ZHAO H H,GU P Y,FANG M, et al. Human granulocytic anaplasmosis diagnosed by bone marrow blood smear microscopy: a case report[J]. Chinese Journal of Clinical Medicine, 2022, 29(2): 293-296.

[关键词] 感染; 粒细胞无形体; 骨血髓涂片 [中图分类号] R 734.2 [文献标志码] B

Human granulocytic anaplasmosis diagnosed by bone marrow blood smear microscopy: a case report

ZHAO Hao-hong, GU Pei-yun, FANG Mei, WANG Chao*, LI Shao-gang, QI Wen-jie Department of Infection, Beijing Friendship Hospital, Capital Medical University, Beijing 100035, China

[Key Words] infection; human granulocytic anaplasmosis; bone marrow blood smear

人粒细胞无形体病(human granulocytic anaplasmosis, HGA)是由嗜吞噬细胞无形体(anaplasma phagocytophilum, 曾称为人粒细胞埃立克体, human granulocyticehrlichiae)侵入人末梢血粒细胞引一种以发热,伴白细胞、血小板减少和多脏器功能损害为主要临床表现的疾病。1994年,第1例被定义为人粒细胞无形体感染的患者确诊于美国明尼苏达州,我国于2006年在安徽省首次发现无形体感染患者,且可能发生了院内感染[1]。立克次体是一种原核细胞微生物,常寄生在细胞内,其分类包括普氏立克次体、恙虫病立克次体、无形体、全孢菌科等多种,其中恙虫病立克次体、无形体立克次体相对多见。本文通过介绍1例以发热、血小板数量减少为主要临床表现,通过骨髓血涂片临床确诊HGA患者诊疗过程及体会。

1 一般资料

1.1 患者资料 患者男性、63岁, 主因发热7d

入院,患者劳累后出现发热,最高体温 41.7℃;伴畏寒、寒战、全身乏力、头晕、腹泻、一过性意识丧失症状。自行在家服用布洛芬后体温可降至正常并持续 2 d,后体温再次升高,外院检查提示白细胞及 C 反应蛋白(CRP)升高,血小板减少(14×10°/L),先后给予左氧氟沙星、亚胺培南抗感染后,效果不佳。患者既往体健,为考古学家,长期在野外潮湿环境中工作,发病前曾在青海地区一个古墓地工作,不排除蜱虫叮咬史,有鸽子接触史。

入院查体:皮肤巩膜轻度黄染,全身淋巴结未触及,皮肤无出血点,循环、呼吸、消化及神经系统查体无明显异常。

辅助检查: 白细胞计数 5.29×10°/L、中性粒细胞百分比 81.1%, 血小板计数 13×10°/L、C 反应蛋白 192.28 mg/L, 谷氨酸转氨酶 (ALT) 98 U/L, 天冬氨酸转氨酶 (AST) 64.4 U/L, 血分片: 中性杆状核粒细胞 30.0%。

[收稿日期] 2021-07-20 [接受日期] 2021-09-21

[基金项目] 首都卫生发展科研专项项目(2020-2-2027),北京市临床重点专科建设项目. Supported by Capital Health Development Scientific Research Special Project (2020-2-2027), Beijing Key Clinical Specialty Construction Project.

[作者简介] 赵浩宏,硕士生. E-mail: zhaohaohong566@163.com

^{*}通信作者(Corresponding author).Tel:010-63134411, E-mail: chaowang30@163.com

1.2 检测结果

1.2.1 微生物学检查结果 (1)血布氏干菌琥红实验: 阴性,血培养未见阳性病原学结果; (2) 艾滋病病毒抗体,梅毒螺旋体抗体,血乙型病毒性肝炎表面抗原、抗体检测,血丙型病毒肝炎抗体均为阴性; (3)血登革热病毒抗体(IgG、IgM)、血流行性出血热抗体(IgG、IgM)、血柯萨奇 B组病毒 IgM、腺病毒 IgM、EB病毒抗体(IgM、IgG),巨细胞病毒核酸定量均为阴性; (4)真菌方面:外周血β-1,3-D-葡聚糖试验实验、GM试验均为阴性; (4)寄生虫相关检测:血疟原虫检测:阴性; (5)少见特殊病原体检测:血支原体抗体、血衣原体抗体、血菜姆病 IgG、端螺旋体 IgG、抗结核抗体、血结核感染 T淋巴细胞检测结果均为阴性。

1.2.2 血风湿免疫检测 血抗核抗体谱、抗可溶性抗原抗体、抗中性粒细胞抗体、类风湿因子、免疫球蛋白、补体检测均未见异常。血流式细胞 T细胞、B淋巴细胞亚群: CD3⁺ 38.38%, CD4⁺ 21.91%, CD8⁺ 16.31%, CD19⁺ 48.28; CD16⁺ CD56 6.58, 血清铁蛋白 739.0 ng/mL。

1.2.3 影像学方面 头颅、胸部、腹部盆腔、脊柱 CT 均为见明显异常。

2 诊疗经过

入院后予拉氧头孢钠抗细菌治疗、奥美拉唑抑制胃酸、还原性谷胱甘肽保肝、补液、降温等对症治疗。入院第1天由于血小板计数(14×10°/L)处于危急值状态,给予1个/次治疗量血小板输注。2020年11月12日骨髓细胞血涂片内可见桑葚状包涵体(图1),考虑人粒细胞无形体感染。患者还进行了外周血二代基因测序检测出黄曲霉,其序列数1列,且基因组覆盖率为0.005 2%,β-1,3-D-葡聚糖试验、GM试验均为阴性,故暂不考虑合并真菌感染。口服米诺环素100 mg bid 针对性抗感染,后患者体温逐渐恢复正常,炎症指标及血小板持续好转。出院时患者白细胞计数5.59×10°/L、中性粒细胞百分比36.7%、血小板计数202×10°/L、C反应蛋白6.09 mg/L,中性杆状核粒细胞30.0%,ALT 98 U/L,AST 64.4 U/L,住院总时长11 d。出

院后1个月后随访患者的未再出现发热等不适,白细胞、血小板、肝肾功能均处于正常范围。

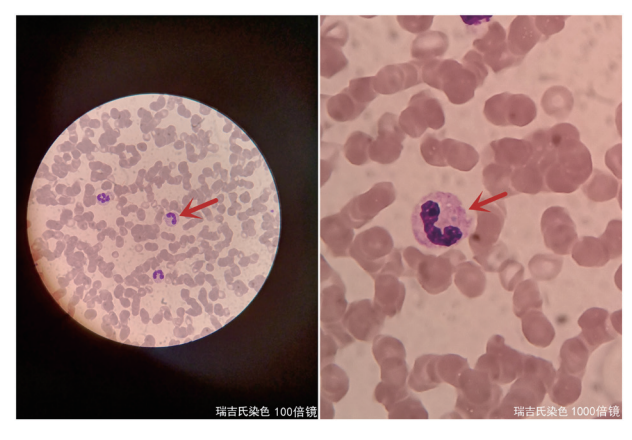


图 1 骨髓血涂片可见粒细胞胞质内桑葚样包涵体 箭头标注为包涵体。Original magnification:×100 (左 图),×1000(右图)。

3 讨论

本例患者此次主因发热入院,实验室检测提示 感染指标升高, 血小板明显下降, 经验性给予抗生 素治疗后, 患者症状未见明显改善, 后骨髓血涂片 提示粒细胞内有桑葚状包涵体存在。结合患者发 病前工作环境, 故临床诊断为人粒细胞无形体病, 患者符合人粒细胞无形体病诊疗方案(试行)中诊 断标准,即(1)可疑的流行病学史:该患者职业 为考古学家,长期在野外潮湿环境中工作; (2) 临床表现:急性起病,主要症状为发热(多为持续 性高热,可高达40℃以上)、全身不适、乏力、 头痛、肌肉酸痛, 以及恶心、呕吐、厌食、腹泻 等,伴有皮肤瘀斑、出血,伴多脏器损伤、弥漫性 血管内凝血等; (3)实验室检测结果; 血常规及 生化检查显示,外周血象白细胞、血小板降低,严 重者呈进行性减少, 异型淋巴细胞增多。ALT 和 AST升高。骨髓血涂片镜检中性粒细胞内可见桑 葚状包涵体。患者外周血二代基因测序未提示立 克次体感染。可能与二代基因测序的本身技术有 一定关系, 二代基因测序虽然能无差别检测出样本 中所有核酸序列, 但前提是病原的核酸要从细胞内 释放出来。无形体属于细胞内感染, 虽然处理样本 前会给予破细胞处理, 但目前运用的一些方式无论 是物理还是化学方法其效果均欠佳[2];患者从发 病到最后确诊时间较短,处于早期感染时体内的无 形体含量较少,这些因素可能导致二代基因测序未 检出。

无形体是一种立克次体,通常通过蜱虫叮咬后进入哺乳动物性的血液中,侵犯粒细胞并在细胞质中繁殖,形成一个或多个细胞团,外形似桑葚胚样,马、犬、人等哺乳动物是主要感染对象,多流行于夏季及阴暗潮湿的山区,感染患者中男性多于女性,儿童患病较少,但也再呈逐年递增趋势,潜伏期1~2周,大约1/3患者需要住院治疗^[3-6]。

人粒细胞无形体感染的致病机制尚不明确,目前主流观点认为无形体立克次体进入细胞后,促进了巨噬细胞活化,产生大量细胞因子(IL-12等),导致了炎症风暴或打破了人体免疫系统平衡^[7]。

无形体传播方式主要是蜱虫的咬伤、或输血相关型,但也不能完全排除人传人的可能性^[1,8],经胎盘传播是新生儿最可能的传播途径。流行地区:近些年以美洲、欧洲国家报道较多,而在亚洲地区仅中国、台湾、日本、韩国少量报道^[4,5,9-12]。

无形体检测方法包括无形体体外培养、核酸 序列测定、血清免疫学实验、血涂片粒细胞胞质 中的桑葚样菌团结构[13]。各地区其诊断标准不尽 相同,美国疾控中心认为标本中获得无形体的核酸 序列作为诊断金标准,标本选择更推荐感染期第1 周内的血浆, 检测的阳性率更高; 欧洲疾控中心认 为吞噬细胞抗原是诊断粒细胞无形体感染的血清 学金标准, 其标本采集常选在感染后的第1周、第 2~4周, 无形体抗体检测结果大于正常值 4倍具 有急性感染意义[3], 样本建议在 THP-1 和 HL-60 两种细胞培养基培养, 获得阳性率更高[14]。临床 中在面对一个高度怀疑无形体感染的患者,急性期 无论是培养、免疫学及核酸测定阳性率都较低且 时间周期长,一般推荐血涂片结果作为药物使用的 依据较为合理,避免延误治疗[15-16]。面对1例在 首次就诊时以上4种检测方法均为阴性且高度怀 疑无形体感染的患者,推荐4周后进行第2次血清 学实验室检查[11]。

无形体病的感染后典型临床症状以发热、头痛、肌痛、血小板减少较多见,皮疹、腹泻及神经症状较为罕见^[10]。在免疫力低下、基础疾病较多

和老年患者常无明显典型症状,常导致患者延迟治疗,进而引发急性肾损伤、心肌炎、弥漫性血管内凝血等多器官功能衰竭[17]。通常需要和新型布尼亚病毒、恙虫病、巴贝西虫病等相鉴别,均通过蜱虫叮咬进行传播,且感染后临床表现相似,主要鉴别点:恙虫病与粒细胞无形体病是最为相似的,主要原因是两种病原均为立克次体,单从临床表现无法区别,常以变形杆菌凝集试验阳性作为诊断恙虫病依据;新型布尼亚病毒起病急、血小板计数下降迅速,主要诊断主要通过检测新型布尼亚病毒抗体及病毒核酸序列;巴贝西虫病其主要特点是通过一些鸟类及哺乳动物传播,其诊断为在显微镜下可观察到红细胞内发现多个环形体,而无色素沉淀或直接在红细胞内观察到原虫。

无形体感染治疗及预后:国际公认的治疗药物为四环素衍生物,多西环素、强力霉素、米诺环素,具体用药时间尚不明确。有报道^[3]显示,在接受药物治疗7~10 d时,患者的感染完全消失。成人患者一般预后比较好,全因病死率0.5%~1%,其中血清铁蛋白、IL-12 与疾病严重程度成正相关,可作为预后的一个评估指标^[18]。针对儿童感染的远期预后目前还未有明确结论^[6]。目前还未有针对无形体的人类疫苗,针对接触蜱虫高风险的人群,预防应用四环素类药物减少发病的成效尚未明确^[15]。

人无形体病的病原学确诊仍然是一个难点,目前临床上常规检测应用的血清学检测、核酸检测、mNGS 检测等方法阳性率均较低,血涂片、骨髓涂片有赖于经验丰富的实验室人员发现其中的包涵体。本例患者是结合可疑的流行病学史、临床表现、及骨髓血涂片找到包涵体而作为临床诊断依据。临床医生应掌握该病的临床特点,尽量做到临床诊断,疑似该病时应尽早给予患者四环素类药物试验性的治疗,如果试验性治疗有效可考虑临床诊断该病。

利益冲突: 所有作者声明不存在利益冲突。

参考文献

[1] ZHANG L, LIU Y, NI D, et al. Nosocomial transmission of human granulocytic anaplasmosis in China[J].

- JAMA, 2008, 300(19):2263-2270.
- [2] GU W, MILLER S, CHIU C Y. Clinical metagenomic next-generation sequencing for pathogen detection[J]. Annu Rev Pathol, 2019, 14:319-338.
- [3] BAKKEN J S, DUMLER J S. Clinical diagnosis and treatment of human granulocytotropic anaplasmosis[J]. Ann N Y Acad Sci, 2006, 1078:236-247.
- [4] EDGINTON S, GUAN T H, EVANS G, et al. Human granulocytic anaplasmosis acquired from a blacklegged tick in Ontario[J]. CMAJ, 2018, 190(12):E363-E366.
- [5] POKORN M, ZUPANC T A, STRLE F. Pediatric human granulocytic anaplasmosis is rare in Europe[J]. Pediatr Infect Dis J, 2016, 35(3):358-359.
- [6] SCHOTTHOEFER A M, HALL M C, VITTALA S, et al. Clinical presentation and outcomes of children with human granulocytic anaplasmosis[J]. J Pediatric Infect Dis Soc, 2018, 7(2):e9-e15.
- [7] DUMLER J S, BARAT N C, BARAT C E, et al. Human granulocytic anaplasmosis and macrophage activation [J]. Clin Infect Dis, 2007, 45(2):199-204.
- [8] KRAUSE P J, WORMSER G P. Nosocomial transmission of human granulocytic anaplasmosis?[J]. JAMA, 2008, 300(19):2308-2309.
- [9] YI J, KIM K H, KO M K, et al. Human granulocytic anaplasmosis as a cause of febrile illness in Korea since at least 2006[J]. Am J Trop Med Hyg, 2017, 96(4):777-782.
- [10] WORMSER G P. Accuracy of diagnosis of human granulocytic anaplasmosis in China[J]. Emerg Infect Dis, 2016, 22(10):1728-1731.

- [11] HANSMANN Y, JAULHAC B, KIEFFER P, et al. Value of PCR, serology, and blood smears for human granulocytic anaplasmosis diagnosis, France[J]. Emerg Infect Dis, 2019, 25(5):996-998.
- [12] TSAI K H, CHUNG L H, CHIEN C H, et al. Human granulocytic anaplasmosis in Kinmen, an offshore island of Taiwan[J]. PLoS Negl Trop Dis, 2019, 13(9):e0007728.
- [13] WORMSER G P, AGUERO-ROSENFELD M E, COX M E, et al. Differences and similarities between culture-confirmed human granulocytic anaplasmosis and early lyme disease[J]. J Clin Microbiol, 2013, 51(3):954-958.
- [14] OHASHI N, GAOWA, WURITU, et al. Human granulocytic anaplasmosis, Japan[J]. Emerg Infect Dis, 2013, 19(2):289-292.
- [15] SANCHEZ E, VANNIER E, WORMSER G P, et al. Diagnosis, treatment, and prevention of lyme disease, human granulocytic anaplasmosis, and babesiosis: a review[J]. JAMA, 2016, 315(16):1767-1777.
- [16] CHOI S, CHO Y U, KIM S H. Morulae in neutrophils: a diagnostic clue for human granulocytic anaplasmosis [J]. IDCases, 2019, 15:e00506.
- [17] ZHUO M, CALEV H, SAUNDERS S J, et al. Acute kidney injury associated with human granulocytic anaplasmosis: a case report[J]. Am J Kidney Dis, 2019, 74(5):696-699.
- [18] BAKKEN J S, DUMLER J S. Clinical diagnosis and treatment of human granulocytotropic anaplasmosis[J]. Ann N Y Acad Sci, 2006, 1078:236-247.

[本文编辑] 王 迪